

УДК 550.310:517.984.54

## О ВОССТАНОВЛЕНИИ ПОТЕНЦИАЛА В УРАВНЕНИИ ШТУРМА-ЛИУВИЛЛЯ ПО НЕПОЛНЫМ СПЕКТРАЛЬНЫМ ДАННЫМ

Н.Н. Новикова

*Международный институт теории прогноза землетрясений  
и математической геофизики Российской академии наук*

В последние годы разработаны методы восстановления отрицательного потенциала в уравнении Штурма-Лиувилля по характеристикам дискретного спектра. В настоящей работе выясняются границы применимости этих методов. Представленные вычислительные эксперименты показывают, что, во-первых, по характеристикам отрицательного дискретного спектра уравнения Штурма-Лиувилля можно восстановить лишь отрицательную часть знакопеременного потенциала (при умножении потенциала на подходящий множитель  $\omega^2$ ). Во-вторых, использование спектральных данных для собственных значений, меньших  $-B\omega^2$ ,  $B > 0$ , приводит к восстановлению потенциала там, где он меньше  $-B\omega^2$ . В-третьих, когда потенциал имеет разрывы, точность аппроксимации ухудшается с увеличением  $\omega$ .

## ABOUT RECONSTRUCTION OF THE POTENTIAL IN THE STURM-LIOUVILLE EQUATION FROM INCOMPLETE SPECTRAL DATA

N.N. Novikova

*International Institute of Earthquake Prediction Theory  
and Mathematical Geophysics, Russian Academy of Sciences*

During past few years methods were developed to reconstruct negative potentials in the Sturm-Liouville equation through characteristics of discrete spectrum. Several numerical tests clarify limitations of these methods. The tests show: 1) only the negative part of a potential having negative and positive parts can be reconstructed through characteristics of negative spectrum of the Sturm-Liouville equation (the potential is multiplied by a suitable factor  $\omega$ ); 2) spectral data for eigenvalues not exceeding  $-B\omega^2$ ,  $B > 0$ , can be used to reconstruct the potential where it is less then  $-B\omega^2$  only; 3) discontinuities of the potential result in deterioration of approximation with the growth of  $\omega$ .

### ТЕОРИЯ

#### Определение потенциала по функции Вейля

Классическая обратная задача Штурма-Лиувилля состоит [1] в определении вещественного потенциала  $q(x)$  в уравнении

$$-y'' + q(x)y(x) = ty(x), \quad t < 0, \quad (1)$$

на полуоси  $x \geq 0$  по спектральной функции.

В случае, когда  $q(x) \rightarrow 0$  достаточно быстро при  $x \rightarrow \infty$ , эта спектральная функция определяется так называемой функцией Вейля уравнения (1) с краевым условием в нуле. Рассмотрим для определенности краевое условие вида

$$y(0) = 0. \quad (2)$$

Такое условие возникает при сведении к задаче Штурма-Лиувилля обратной акустической задачи для горизонтально-однородной среды. Функцией Вейля называется функция вида

$$j(t) = y'(0, t)/y(0, t), \quad (3)$$

где  $t \in \mathbb{C} \setminus \mathbb{R}^+$  и  $y(x, t)$  – решение уравнения (1),  $y(x, t) \rightarrow 0$  при  $x \rightarrow \infty$ . Функция  $j(t)$  является мероморфной функцией в области  $\mathbb{C} \setminus \mathbb{R}^+$  с полюсами  $t_1, \dots, t_n$  на вещественной полуоси, соответствующими собственным значениям задачи (1),(2), и вычетами  $C_1, \dots, C_n$  в этих полюсах.

Вычеты  $\{C_k\}$  выражаются через собственные функции  $y(x, t_k)$  задачи (1),(2) по формуле

$$C_k = y'_x(0, t_k) / \int_0^\infty y^2(x, t_k) dx$$

(см.[1]).

Спектральной мерой задачи (1),(2) является мера на вещественной оси вида

$$d\sigma(t) = \begin{cases} \sum_{k=1}^n C_k \delta(t - t_k) dt, & t < 0, \\ f(t) dt, & t > 0 \end{cases}$$

где  $\delta(t)$  – функция Дирака;  $f(t)$  – производная функции  $j(t)$  на положительной спектральной полуоси.

Исходные данные в обратных геофизических задачах естественно появляются в виде функции Вейля [2]. В обратной акустической задаче для горизонтально-однородной среды эти данные появляются следующим образом.

Пусть источник гармонических вибраций вблизи поверхности горизонтально-однородного жидкого полупространства  $x > 0$  имеет вид  $P(+0, r, t) = F(r)e^{i\omega t}$ . Тогда вибрации гидростатического давления представляются в виде  $P(x, r, t) = P_0(x, r)e^{i\omega t}$  ( $\omega = 2\pi f$ ,  $f$  – частота монохроматических колебаний акустической среды) и  $P_0$  удовлетворяет уравнению

$$\frac{1}{r} \frac{\partial}{\partial r} \left( r \frac{\partial P_0}{\partial r} \right) + \frac{\partial P_0}{\partial x} + \left( \frac{\omega^2 \rho(x)}{\lambda(x)} - \frac{(\sqrt{\rho(x)})''}{\sqrt{\rho(x)}} \right) P_0 = 0$$

с граничными условиями

$$P_0(+0, r) = F(r); \quad P_0(-0, r) = 0; \quad P_0(\infty, r) = 0.$$

Здесь  $\rho(x)$  – плотность,  $\lambda(x)$  – модуль сжатия. Обратная задача состоит в нахождении функций  $\rho(x)$ ,  $\lambda(x)$  через значения  $(P_0)_x'$  на поверхности  $x = 0$ .

С помощью преобразования Фурье-Бесселя нулевого порядка

$$y(x, -s^2) = \int_0^\infty P_0(x, r) r J_0(sr) dr$$

мы получаем обратную задачу Штурма-Лиувилля: найти потенциал  $q(x)$ , равный

$$q(x) = -\frac{\omega^2 \rho(x)}{\lambda(x)} + \frac{(\sqrt{\rho(x)})''}{\sqrt{\rho(x)}}$$

в уравнении (1), где  $t = -s^2$ , через функцию вида (3). При этом параметры  $\lambda_j = \sqrt{-t_j}$ ,  $j = 1, 2, \dots, n$ , являются волновыми числами поверхностных волн, а параметры

$$A_j = -\frac{C_j}{2} \int_0^\infty r F(r) J_0(\lambda_j r) dr$$

являются амплитудами этих волн. Эта обратная задача имеет полное математическое решение, основанное на интегральном уравнении Гельфанда-Левитана (см. [1]).

#### Определение потенциала по дискретной части спектральной функции

В прикладных обратных задачах функция Вейля  $j(t)$  и соответственно спектральная функция  $\sigma(t)$  известны полностью крайне редко. Имеется ряд постановок, где требуется восстановить потенциал по части спектральных данных. В работах [3, 4] исследовалась задача о возможности восстановления потенциала  $q(x)$  по спектральной функции  $\sigma(t)$  лишь на отрицательной полуоси, т.е. по характеристикам дискретного спектра. В частности, в приведенной выше обратной акустической задаче для горизонтально-однородной среды эти характеристики дискретного спектра являются волновыми числами и амплитудами поверхностных волн.

Если в нашем распоряжении нет никакой другой информации о спектральной мере, то можно по этим характеристикам дискретного спектра  $\{t_k, C_k\}$  найти потенциал  $\tilde{q}(x)$ , который имеет ровно эти характеристики дискретного спектра, а характеристики непрерывного спектра такие же, как у какого-либо канонического потенциала, например равного константе  $A$ . Такие потенциалы допускают явное представление в элементарных функциях; например, если  $A = 0$ , то такой потенциал имеет вид [1, 5]

$$\tilde{q}(x) = 2 \frac{d^2}{dx^2} \ln |\det W(x)|, \quad (4)$$

где элементы  $W(x)$  имеют вид

$$W_{sr} = \frac{2sh(\lambda_s + \lambda_r)x}{\lambda_s + \lambda_r} - (1 - \sigma_{sr}) \frac{2sh(\lambda_s - \lambda_r)x}{\lambda_s - \lambda_r} - \sigma_{sr} \left( 2x - \frac{4\lambda_r^2}{C_r} \right),$$

и  $\lambda_s = \sqrt{-t_s}$ . Вычислительные примеры [3] показали, что для потенциалов  $q(x)$ , возникающих в соответствующих обратных акустических задачах, выписанное выше приближение  $\tilde{q}(x)$  дает неплохие результаты. Объяснение этого заключается в том, что потенциал  $q(x)$  в таких задачах имеет вид

$$q(x) = -\frac{\omega^2 \rho(x)}{\lambda(x)} + \frac{(\sqrt{\rho(x)})''}{\sqrt{\rho(x)}}.$$

Если  $\omega$  достаточно велико, то потенциал  $q(x)$  становится большим по модулю и отрицательным, и поэтому в задаче (1),(2) возникает большое число отрицательных собственных значений  $n = n(\omega)$ , асимптотически равное (по формуле Вейля [6])

$$n(\omega) \approx \int_0^\infty |q_-(x)|^{1/2} dx, \quad (5)$$

где

$$q_-(x) = \begin{cases} 0, & \text{если } q(x) > 0, \\ q(x), & \text{если } q(x) \leq 0. \end{cases}$$

Это дает основание заключить, что с ростом  $\omega$  дискретный спектр несет все большую информацию о потенциале. Это предположение подтверждено следующими строгими результатами.

1. Для задачи Штурма-Лиувилля на всей оси из работ Лакса и Ливермура [6] вытекает, что для потенциалов вида

$$q(x) = -\omega^2 p(x), \quad \text{при } p(x) > 0, \quad (6)$$

где  $p(x) \rightarrow 0$  достаточно быстро при  $x \rightarrow \infty$ ,  $p(x)$  — дифференцируема и имеет конечное число экстремумов, потенциал  $\tilde{q}(x)$ , имеющий те же характеристики дискретного спектра  $\{t_k\}$  и  $\{C_k\}$ , что и  $q(x)$ , и представимый в виде

$$\tilde{q}(x) = 2 \frac{d^2}{dx^2} \ln |\det(A_{mn})|,$$

где

$$A_{mn} = \delta_{mn} + \frac{C_n}{\sqrt{-t_n} + \sqrt{-t_m}} \exp(-(\sqrt{-t_n} + \sqrt{-t_m})x),$$

приближается к потенциалу  $q(x)$  в  $L^2$ -норме

$$\frac{\|\tilde{q}(x) - q(x)\|_{L_2[\mathbf{R}]}}{\omega^2} \rightarrow 0 \quad \text{при } \omega \rightarrow \infty;$$

2. Для задачи Штурма-Лиувилля на полуоси в предположении, что  $q(x) = -\omega^2 p(x)$ , где  $p(x) > 0$ ,  $p(x) \rightarrow 0$  достаточно быстро при  $x \rightarrow \infty$  вместе с двумя производными

$$Q = \int_0^{\infty} (1+x)|p(x)|dx + \sum_{j=1}^2 \int_0^{\infty} \left| \frac{p^{(j)}(x)}{p(x)} \right| dx < \infty,$$

имеет место следующая оценка:

$$\left| \int_0^x \left[ \frac{\tilde{q}(y) - q(y)}{\omega^2} \right] dy \right| \leq \frac{\text{const}(x, Q)}{\omega^2},$$

где  $\tilde{q}(x)$  – потенциал, характеристики отрицательного спектра которого совпадают с соответствующими характеристиками потенциала  $q(x)$ , а характеристики непрерывного спектра – с соответствующими характеристиками постоянного потенциала  $q(0)$ .

Близкое утверждение сформулировано в [4]. Подробное доказательство будет дано в другой статье. Указанные результаты подтверждены рядом вычислительных экспериментов. Представляет интерес выяснить границы применимости этих результатов.

### ЧИСЛЕННЫЕ РЕЗУЛЬТАТЫ

Настоящая работа посвящена вычислительным экспериментам, связанным с выяснением возможности аппроксимации потенциала  $q(x)$  потенциалами  $\tilde{q}(x)$ , когда не выполнены те или иные условия в сформулированных результатах. Или иначе, что можно восстановить в потенциале  $q(x)$  по характеристикам дискретного спектра, если он не полностью удовлетворяет приведенным выше условиям.

Итак, в этой статье мы постарались ответить на следующие вопросы.

1. Как влияют разрывы в потенциале  $q(x)$  на возможность его восстановления?
2. Что можно восстановить в потенциале  $q(x)$  по характеристикам дискретного спектра, если знак потенциала  $q(x)$  изменяется?
3. Что можно восстановить в потенциале  $q(x)$ , если характеристики дискретного спектра известны лишь для собственных значений  $\leq (-B\omega^2)$ , где  $B > 0$ ?
4. Как влияет размер носителя потенциала на точность его восстановления?
5. Как влияет на возможность восстановления потенциала  $q(x)$  использование вместо  $\tilde{q}(x)$  вида (4) потенциала со свойствами: характеристики дискретного спектра, как у  $q(x)$ , а характеристики непрерывного спектра, как у потенциала, равного, например, константе  $B$ ?

#### Влияние разрывов потенциала на его восстановление

В сформулированных выше математических результатах сходимость потенциала  $\tilde{p}(x)$  к потенциалу  $p(x)$  (для положительных потенциалов  $p(x)$ , или, что то же, для отрицательных потенциалов  $q(x) = -\omega^2 p(x)$ ) обоснована в предположении достаточной гладкости этих потенциалов. Вычислительный опыт (см. [3]) показывает, что сходимость имеет место не только для гладких, но и для кусочно-гладких потенциалов с небольшими разрывами. Согласно вычислениям настоящей работы наличие больших разрывов ставит пределы для точности приближения  $\tilde{p}(x)$  к  $p(x)$ . Действительно, на рис. 1, а потенциал  $p(x)$ , состоящий из трех ступенек, имеет небольшие разрывы и в этом случае аппроксимация улучшается с увеличением  $\omega$ .

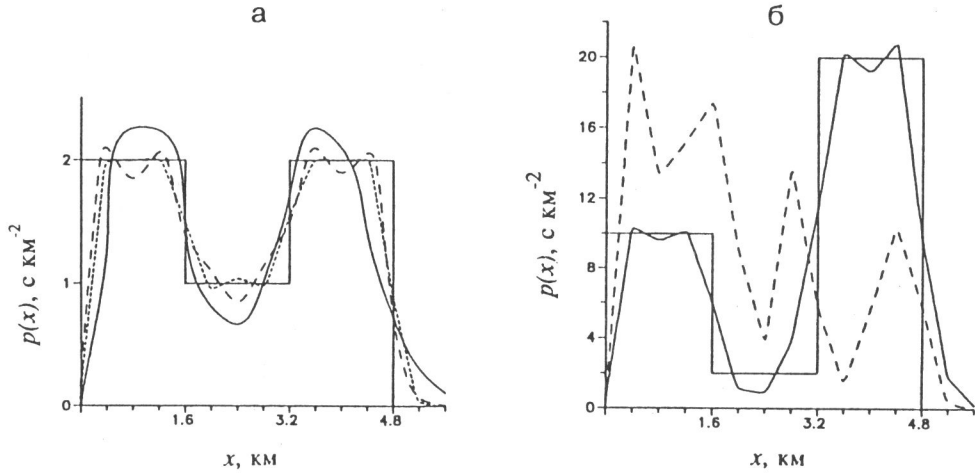


Рис. 1. Аппроксимация (4) потенциала  $q(x) = -\omega^2 p(x)$ , заданного в виде трехступенчатой функции

а – улучшение аппроксимации при увеличении  $\omega^2$  в случае небольших разрывов, аппроксимирующие потенциалы  $\tilde{p}(x)$  рассчитаны при  $\omega^2 = 1, 10$  и  $20$  (соответственно сплошная, штриховая и пунктирная линия); б – ухудшение аппроксимации при увеличении  $\omega^2$  в случае значительных разрывов потенциала, аппроксимирующие потенциалы  $\tilde{p}(x)$  рассчитаны при  $\omega^2 = 1$  и  $4$  (соответственно сплошная и штриховая линия)

В случае, когда разрывы достаточно велики (см. рис. 1, б), увеличение  $\omega$  не только не улучшает, а даже ухудшает точность аппроксимации. Отметим, что в данном эксперименте использовались все характеристики дискретного спектра, найденного для потенциала  $q(x) = -\omega^2 p(x)$  методом из [7], в который были внесены необходимые изменения; затем эти характеристики подставлялись в формулу (4) и методом из [8] рассчитывались потенциалы  $q(x)$ . Эти примеры указывают на существенную зависимость точности приближения  $\tilde{p}(x)$  к  $p(x)$  от степени гладкости  $p(x)$  (например, от введенной выше константы  $Q$ ). Для выявления сходимости (хотя бы медленной)  $\tilde{p}(x)$  к  $p(x)$  для сильно разрывных  $p(x)$  необходима чрезвычайно высокая точность вычислений в прямой задаче.

В.М. Маркушевич предложил следующее объяснение обсуждаемого феномена. Чем глубже волновод, тем резче контраст между поверхностными волнами и волнами, захваченными волноводом; в этой ситуации очень трудно отличить моды второго типа от мод первого типа. Таким образом, точность вычислений должна быть чрезвычайно высокой, особенно в прямой задаче. Когда точность вычислений достаточно высока, точность восстановления потенциала снова возрастает с увеличением частоты.

### Восстановление знакопеременного потенциала

Если потенциал  $q(x) > 0$  при всех  $x$ , т.е. в формуле (6)  $p(x) < 0$  при всех  $x$ , то о восстановлении  $q(x)$  по характеристикам дискретного спектра говорить не приходится, так как такого спектра просто не существует [9]. В случае знакопеременного потенциала формула Вейля показывает, что число собственных значений

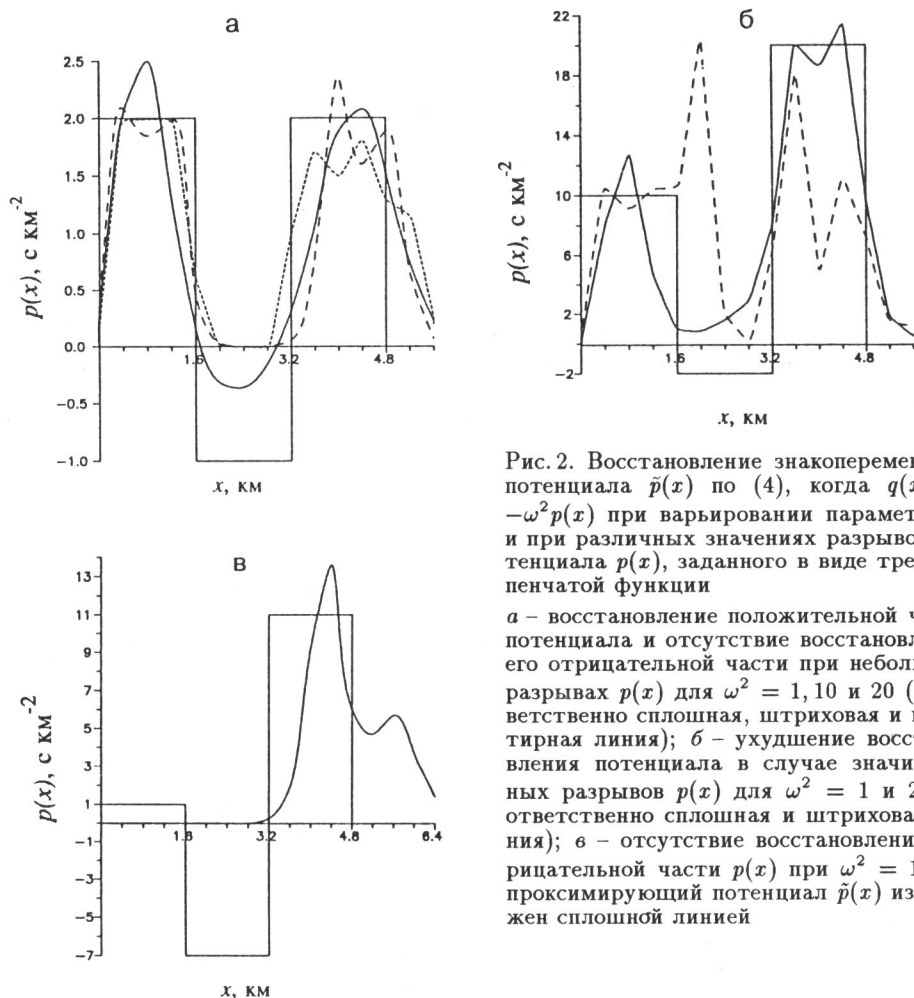


Рис. 2. Восстановление знакопеременного потенциала  $\tilde{p}(x)$  по (4), когда  $q(x) = -\omega^2 p(x)$  при варьировании параметра  $\omega$  и при различных значениях разрывов потенциала  $p(x)$ , заданного в виде трехступенчатой функции

а – восстановление положительной части потенциала и отсутствие восстановления его отрицательной части при небольших разрывах  $p(x)$  для  $\omega^2 = 1, 10$  и  $20$  (соответственно сплошная, штриховая и пунктирная линия); б – ухудшение восстановления потенциала в случае значительных разрывов  $p(x)$  для  $\omega^2 = 1$  и  $2$  (соответственно сплошная и штриховая линия); в – отсутствие восстановления отрицательной части  $p(x)$  при  $\omega^2 = 1$ , аппроксимирующий потенциал  $\tilde{p}(x)$  изображен сплошной линией

зависит от интеграла отрицательной части  $q(x)$  (см.(5)). Возникает естественная гипотеза, что по характеристикам дискретного спектра в общем случае можно восстановить (с точностью, возрастающей с увеличением  $\omega$ ) именно отрицательную часть потенциала  $q(x)$  и нельзя восстановить его положительную часть. В подтверждение этой гипотезы проведен следующий эксперимент. Взяты несколько характерных потенциалов  $p(x)$ , имеющих как положительные, так и отрицательные части. Характеристики дискретного спектра для потенциала  $q(x) = -\omega^2 p(x)$ , найденные методом, предложенным [7], подставлялись в (4) и по алгоритму из [8] рассчитывались потенциалы  $\tilde{q}(x)$ .

На рис. 2,а изображен потенциал  $p(x) = -q(x)/\omega^2$ , состоящий из трех ступенек: двух крайних положительных и одной средней отрицательной. С увеличением  $\omega$  с неплохой точностью реконструируются крайние положительные ступеньки (соответствующие отрицательным частям потенциала  $q(x)$ ) и исчезает какое-бы то ни было восстановление отрицательной ступеньки  $p(x)$ .

Рис. 2,б показывает, что увеличение частоты не только не приводит к восстановлению отрицательной ступеньки  $p(x)$ , но и ухудшает его на участках, которые должны были бы хорошо реконструироваться, что, на наш взгляд, связано со значительным возрастанием скачков потенциала  $q(x) = -\omega^2 p(x)$  при увеличении  $\omega$ .

Рис. 2,в также дает подтверждение высказанной ранее гипотезы о невозможности восстановления отрицательной ступеньки  $p(x)$ .

### Исключение малых волновых чисел при восстановлении потенциала

Представляет значительный интерес исследование следующего вопроса: какую часть потенциала  $p(x)$  можно восстановить, если при достаточно большом  $\omega$  известны характеристики дискретного спектра потенциала  $q(x) = -\omega^2 p(x)$  с собственными значениями, не превосходящими  $-B\omega^2$ ,  $B > 0$ . Графики на рис. 3,а

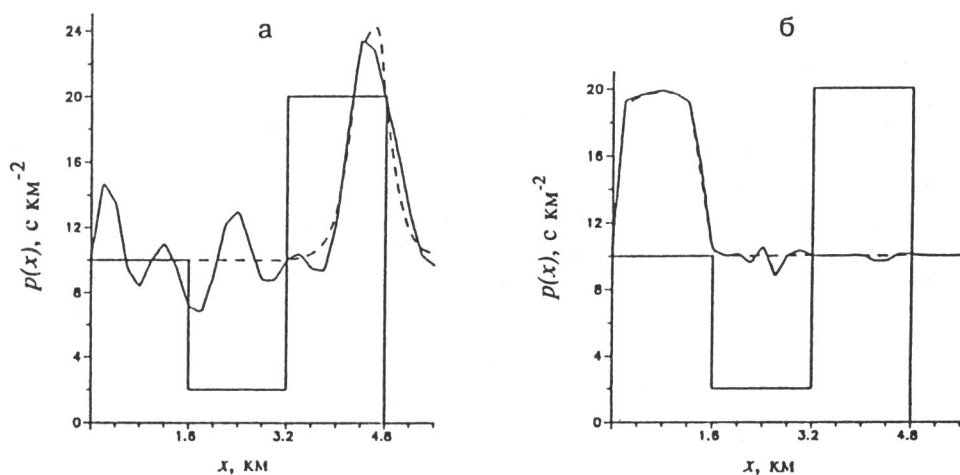
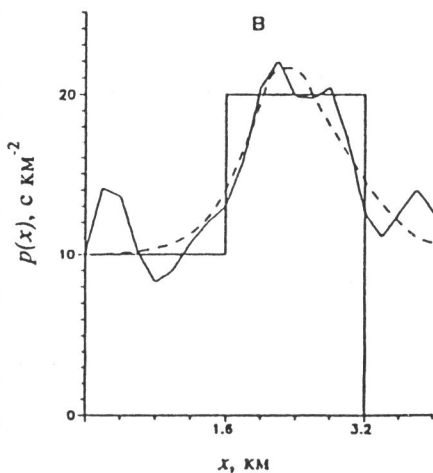


Рис. 3. Восстановление потенциала при исключении малых волновых чисел

а – восстановление потенциала  $q(x) = -\omega^2 p(x)$  по формулам (4), (7) при одном и том же значении параметра  $\omega^2 = 1$ . Штриховая линия получена по (4) для восстановления значений  $p(x)$ , больших 10 в потенциале  $q(x) = -\omega^2 p(x)$  по характеристикам дискретного спектра, меньшим  $-10\omega^2$ . Формула (4) дает потенциалы с характеристиками непрерывного спектра, как у нулевого потенциала. Сплошная линия получена по (7) для восстановления значений  $p(x)$ , больших 10 в потенциале  $q(x) = -\omega^2 p(x)$ . Формула (7) использует все характеристики дискретного спектра; в отличие от (4), характеристики непрерывного спектра, как у потенциала, равного  $-10\omega^2$ ;

б – разрушение аппроксимации, изображенной на рис. 3,а, при большом параметре  $\omega^2 = 16$ ;

в – восстановление функции  $p(x)$ , большей 10 в потенциале  $q(x) = -\omega^2 p(x)$  по формуле (4) (штриховая линия) и по (7) (сплошная линия)





и 3,б позволяют сформулировать следующую естественную гипотезу. При подходящих условиях на гладкость потенциала характеристики дискретного спектра на полуоси  $t < -B\omega^2$  при больших  $\omega$  позволяют восстановить потенциал  $p(x)$  в точках, где  $p(x) > B$  и не позволяют восстановить  $p(x)$  в точках, где  $p(x) < B$ . Это находится в хорошем соответствии с результатами, представленными в предыдущем разделе, где  $B = 0$ . Такого типа эффект уже был замечен в работах [3,9], где рассматривался монотонно убывающий потенциал. В этом случае при выбрасывании (из всего набора характеристик дискретного спектра) собственных значений, по модулю меньших некоторой константы, не восстанавливался лишь участок потенциала при  $x$ , больших соответствующей константы. Действительно, на рис. 3,а,б рассмотрены потенциалы  $p(x)$  из трех положительных ступенек, из которых две крайние имеют высоту, равную или большую  $B = 10$ , а средняя ступенька имеет высоту ниже уровня  $B = 10$ . В этом случае использование в аппроксимационной формуле (4) для  $\tilde{q}(x) = -\omega^2 \tilde{p}(x)$  спектральных данных  $\{t_k\}, \{C_k\}$  на спектральной полуоси  $t < -10\omega^2$  приводит к неплохому приближению  $\tilde{p}(x)$  к  $p(x)$  там, где  $p(x) \geq 10$ , и к отсутствию приближения  $\tilde{p}(x)$  к  $p(x)$  там, где  $p(x) < 10$  (см. рис. 3,а). Интересно, что этот эффект получен для немонотонного потенциала. Рис. 3,б, хотя и подтверждает гипотезу об отсутствии приближения  $\tilde{p}(x)$  к  $p(x)$  на участках, где  $p(x) < 10$ , но увеличение  $\omega$  в 4 раза приводит к разрушению приближения  $\tilde{p}(x)$  к  $p(x)$  и на участках, где  $p(x) \geq 10$  из-за увеличения разрывов.

Фактически, приближение  $\tilde{p}(x)$  к  $p(x)$  по неполным спектральным данным строилось следующим образом. Рассматривался потенциал  $q(x) = -\omega^2 p(x)$ . Нашлись собственные значения  $t_1 < \dots < t_n$ , соответствующие задаче Штурма-Лиувилля (1),(2), и вычеты функций Вейля  $C_1, \dots, C_n$ . Далее брались только собственные значения  $t_j < -B\omega^2$ , где  $j = 1, \dots, k$ , и соответствующие  $C_1, \dots, C_k$ . Затем, в формуле (4) использовались  $\lambda_j = \sqrt{|t_j + B\omega^2|}$ ,  $j = 1, \dots, k$ , и  $C_1, \dots, C_k$ . В качестве  $\tilde{p}(x)$  принимались  $(-q(x) + B\omega^2)/\omega^2$ .

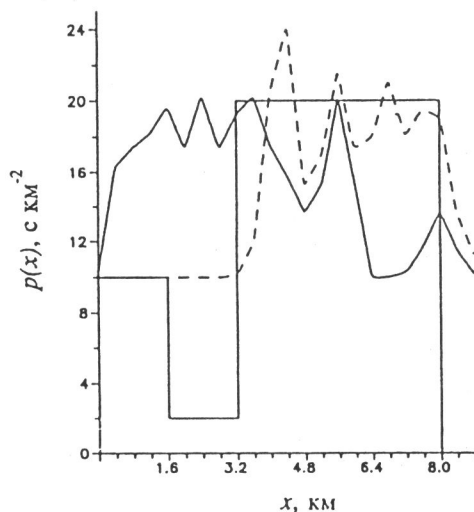
### Влияние геометрии носителя

Формула Вейля (5) показывает, что число отрицательных собственных значений зависит от интеграла отрицательной части  $q_-(x)$  потенциала  $q(x)$ . Поэтому может показаться, что для функций с большим интегралом от отрицательной части  $q_-(x)$  точность восстановления будет выше. На рис. 4 показано, что удлинение положительной ступеньки  $p(x)$ , т.е. отрицательной для  $q(x)$ , хотя и увеличивает число собственных значений, однако не увеличивает точности аппроксимации  $p(x)$  по характеристикам дискретного спектра на полуоси  $t < -10\omega^2$  (ср. с рис. 3,а). На рис. 4 хотя и отсутствует приближение  $\tilde{p}(x)$  к  $p(x)$  на участках, где  $p(x) < 10$ , но увеличение  $\omega$  в 2 раза приводит к ухудшению приближения  $\tilde{p}(x)$  к  $p(x)$  на участках, где  $p(x) \geq 10$  из-за увеличения разрывов (ср. с рис. 3,б).

### Выбор потенциала, задающего непрерывный спектр

Основная вычислительная формула (4) дает потенциал  $q(x)$ , имеющий характеристики дискретного спектра, как у потенциала, равного нулю. Условие, что характеристики непрерывного спектра для потенциала  $q(x)$  такие же, как у нулевого, принято, во-первых, потому, что исходный потенциал на бесконечности

Рис. 4. Влияние геометрии носителя на восстановление потенциала. Удлинение ступеньки в функции  $p(x)$  приводит к увеличению числа отрицательных собственных значений для потенциала  $q(x) = -\omega^2 p(x)$ , но не приводит к улучшению точности аппроксимации  $p(x)$  по формуле (4) (штриховая линия). Большое значение параметра  $\omega$  приводит к разрушению аппроксимации  $p(x)$  по формуле (4) (сплошная линия)



стремится к нулю, и, во-вторых, из-за отсутствия информации о непрерывном спектре. Казалось бы, можно для аппроксимации использовать потенциалы  $q(x)$ , которые имеют характеристики непрерывного спектра, как у любого другого фиксированного потенциала, например равного константе. При этом можно было бы рассчитывать на какой-то наилучший выбор константы. Константа в качестве опорного потенциала удобна тем, что соответствующий потенциал  $q(x)$  при любой фиксированной константе может быть найден явной формулой

$$\tilde{q}(x) = \tilde{B} + 2 \frac{d^2}{dx^2} \ln \det |W(x)|, \quad (7)$$

где  $\tilde{B} = B\omega^2$ .

$$W_{sr}^{11} = \frac{2sh(\lambda_s + \lambda_r)x}{\lambda_s + \lambda_r} - (1 - \delta_{sr}) \frac{2sh(\lambda_s - \lambda_r)x}{\lambda_s - \lambda_r} - \delta_{sr} \left( 2x - \frac{4\lambda_r^2}{C_r} \right),$$

$$W_{sr}^{12} = W_{rs}^{21} = \frac{-4}{\lambda_s^2 + \mu_r^2} [\mu_r \cos(\mu_r x) sh(\lambda_s x) - \lambda_s \sin(\mu_r x) ch(\lambda_s x)],$$

$$W_{sr}^{22} = \frac{2 \sin(\mu_s + \mu_r)x}{\mu_s + \mu_r} + (1 - \delta_{sr}) \frac{2 \sin(\mu_s - \mu_r)x}{\mu_s - \mu_r} + \delta_{sr} \left( 2x - \frac{4\mu_r^2}{D_r} \right),$$

причем

$$\lambda_i^2 = -t_i - B, \quad i = 1, \dots, k,$$

$$\mu_j^2 = t_j + B, \quad j = 1, \dots, n - k,$$

где  $k$  — такой номер, что  $-t_i - B > 0$ ,  $i = 1, \dots, k$ , и  $t_j + B > 0$ ,  $j = 1, \dots, n - k$ .  $C_i = C_j$ ,  $i = 1, \dots, k$ ;  $D_j = C_{k+j}$ ,  $j = 1, \dots, n - k$ .

*Предложение.* Потенциал, полученный по формуле (7), имеет характеристики дискретного спектра, как у потенциала  $q(x)$ , а характеристики непрерывного спектра, как у потенциала, равного константе  $B$ .

С вычислительной точки зрения формула (4) потребовала достаточно сложного

алгоритма для реализации на компьютере. И даже с таким алгоритмом (см. [8]) счет больших матриц требует заметного времени. Счет же по формуле (7), где количество величины  $\mu_j$  больше по сравнению с  $\lambda_i$ , требует гораздо меньших затрат времени. Поэтому казалось, что, выбирая опорный потенциал в виде большой отрицательной константы, мы можем пользоваться формулой (7) вместо формулы (4), чтобы получить, по крайней мере, тот же результат, но с меньшей затратой времени. Но результат оказался неожиданным: введение отрицательной константы и, вместе с этим, введение  $\mu_j$  оказалось практически эквивалентно тому, что мы исключили информацию о части дискретного спектра, поскольку на рис. 3, а-в результат восстановления по формуле (7) не лучше восстановления по формуле (4) (см. рис. 3, а-в, где выбрасывалась информация о части дискретного спектра).

Тем самым, искусственные параметры  $\mu_j^2 = t_j + B$ , играющие роль положительных собственных значений, сказываются только на поведении аппроксимирующего потенциала на бесконечности и не помогают восстановить потенциал  $q(x)$  в конечной области.

Итак, наилучшее приближение  $\tilde{q}(x)$  к  $q(x)$  получается, если строить потенциал  $\tilde{q}(x)$ , у которого характеристики отрицательного дискретного спектра, как у потенциала  $q(x)$ , а характеристики положительного и непрерывного спектра, как у потенциала, равного нулю.

*Благодарности.* Автор выражает благодарность Ж.П. Монтанер, Laboratoire de Seismologie Global Института Физики Земли (Париж) за поддержку этой работы.

#### ЛИТЕРАТУРА

1. Левитан Б.М. Обратные задачи Штурма-Лиувилля. М: Наука, 1984. 240 с.
2. Pekeris C.L. An inverse boundary problem in seismology // Physics. 1934, Vol.5. P.307-316.
3. Маркушевич В.М., Новикова Н.Н., Повзнер Т.А., Савин И.В., Федоров В.Е. Метод определения акустического профиля по нормальным монохроматическим волнам. // Математические методы в сейсмологии и геодинамике. М: Наука, 1987. С.174-185. (Вычисл. сейсмология; Вып. 19).
4. Новикова Н.Н., Хенкин Г.М. О восстановлении оператора Штурма-Лиувилля по характеристикам дискретного спектра // Численное моделирование и анализ геофизических процессов. М: Наука, 1987. С.174-185. (Вычисл. сейсмология; Вып. 20).
5. Маркушевич В.М., Новикова Н.Н., Резников Е.Л. Представление потенциала в явном виде через рациональную функцию Вейля для задачи Штурма-Лиувилля на полуоси // ДАН. 1984 Т. 278, N 5. С.1095-1097.
6. Lax P.D., Levermore C.D. The small dispersion limit of the Korteweg-de Vries equation. I. Communication on pure and applied mathematics. 1983, Vol. XXXVI. P.253-290.
7. Левшенко В.Т., Маркушевич В.М., Резников Е.Л. О расчете смещений среды при вибросондировании крутильными колебаниями // Математические модели строения Земли и прогноза землетрясений. М: Наука, 1982. С.134-147. (Вычисл. сейсмология; Вып. 14).
8. Маркушевич В.М., Новикова Н.Н. Метод вычисления потенциалов для некоторых рациональных импедансов М: 1984. 72 с. Деп. в ВИНТИ 5.11.84. N 7583-84.
9. Шадан К., Сабатье П. Обратные задачи в квантовой теории рассеяния. М: Мир, 1980. 408 с.